



Artículo

Hidroxipropil-β-ciclodextrina reticulada impulsada por vapor Membranas nanofibrosas electrohiladas para eliminación de tinte ultrarrápida

Xinmiao Xu, Yi Zhang, Yong Chen * y Yu Liu *

Facultad de Química, Laboratorio Estatal Clave de Química Elemento-Orgánica, Universidad de

300071, China * Correspondencia: chenyong@nankai.edu.cn (YC); yuliu@nankai.edu.cn (YL)

Resumen: Las membranas de separación tradicionales utilizadas para la eliminación de tintes a menudo sufren un equilibrio entre la eficiencia de separación y la permeabilidad al agua. En este documento, proponemos un enfoque sencillo para preparar membranas de nanofibras de alto flujo basadas en ciclodextrina mediante procesos de electrohilado y reticulación impulsados por vapor. La aplicación de vapor de glutaraldehído para reticular membranas electrohiladas de hidroxipropil-βciclodextrina (HP-β-CD)/alcohol polivinílico (PVA)/laponita puede construir estructuras interconectadas y conducir a la formación de una capa jerárquica porosa. Además, la incorporación de una sal inorgánica, laponita, puede alterar el proceso de reticulación, lo que da como resultado membranas con hidrofilicidad mejorada y una morfología nanofibrosa electrohilada altamente mantenida, lo que contribuye a un flujo de agua ultrarrápido de 1,0 × 105 Lh-1m-2bar-1 . Debido al efecto sinérgico de la fuerte interacción huésped-huésped y la interacción electrostática, las membranas exhiben un rechazo adecuado hacia los tintes aniónicos con una alta eficiencia de eliminación de >99% en un corto tiempo y logran una separación precisa de los tintes catiónicos frente a los aniónicos, acompañada de una reciclabilidad adecuada. con >97% de eficiencia de separación después de al menos cuatro separaciones-regeneraciones. Las membranas preparadas con una notable eficiencia de separación y propiedades de permeación ultrarrápida podrían ser un candidato prometedor para membranas de alto rendimiento en el tratamiento de agua.

Palabras clave: ciclodextrina; adsorción supramolecular; electrohilado; membranas nanofibrosas; permeación ultrarrápida



Cita: Xu, X.; Zhang, Y.; Chen, Y.; Liu, Y. Membranas ciclodextrina reticuladas impulsadas por vapor para la eliminación ultrarrápida de tintes. Química 2024, 6, 506-516. https://doi.org/10.3390/ chemistry6040029

Recibido: 22 de mayo de 2024 Revisado: 19 de iunio de 2024 Aceptado: 21 de junio de 2024 Publicado: 25 de junio de 2024



Copyright: © 2024 por los autores. Licenciatario MDPI, Basilea, Suiza.

Este artículo es un artículo de acceso abierto. distribuido bajo los términos y condiciones de los Creative Commons Licencia de atribución (CC BY)

4.0/)

1. Introducción

Muchos colorantes orgánicos sintéticos utilizados en las industrias alimentaria, cosmética, del cuero y textil son mutagénicos y cancerígenos [1,2]. Los ecosistemas acuáticos y la salud humana están seriamente amenazados por la liberación generalizada de efluentes de tintes con el rápido aumento de la industrialización [3]. Es muy importante encontrar técnicas eficientes de eliminación de tintes para el tratamiento de aguas residuales. Se han estudiado exhaustivamente numerosas tácticas, como la oxidación química [4], la degradación biológica [5] y la adsorción [6,7]. Entre ellas, la tecnología de separación por membranas ha atraído cada vez más interés debido a su asequibilidad, conveniencia y falta de contaminación [8]. Como resultado, se hacen grandes esfuerzos para crear membranas de alto rendimiento que tengan simultáneamente un fuerte

rechazo y un alto flujo [9,10]. La β-ciclodextrina (β-CD), que es de bajo costo y sostenible, posee la cavidad hidrofóbica para formar complejos de inclusión estables con ciertas moléculas orgánicas a través de interacciones huésped-huésped y se aplica ampliamente en la adsorción de contaminantes [11-14]. Además, al emplear el componente principal de las membranas, la microporosidad intrínseca de la β-CD puede lograr una separación precisa mediante exclusión de tamaño y servir como un canal adicional de transporte de agua [15,16]. Peinemann et al. desarrolló un método con per-6-amino-β-CD en lugar de diamina que reacciona con cloruro de tereftaloilo para formar una capa de separación a base de ciclodextrina mediante polimerización interfacial, que mostró una permeabilidad selectiva de forma precisa y una permeancia al agua de 20 Lm-2h -1bar. −1 [17]. Sin embargo, estas membranas (https:// creativecommons.org/licenses/by/reticuladas basadas en CD producidas por reacciones de polimerización interfacial tradicionales en solución todavía son demasiado densas para permitir un transporte rápido de disolventes [18-21].

permeabilidad y una permeabilidad al agua de 20 Lm-2h-1bar-1 [17]. Sin embargo, estas membranas reticuladas basadas en CD producidas por reacciones de polimerización interfacial tradicionales en solución todavía son demasiado densas para permitir un transporte rápido de disolventes [18-21].

Los métodos generales para coordinar la permeabilidad al aqua de las membranas incluyen mejorar la

hidrofilicidad de la superficie de la membrana [22,23], introduciendo un cambio de transferencia de agua. Los Hidiétibidad ad cladamico e practica de technica de la companio de diámo etro día 4 a lista beuna e tam de a el páce a clar es upo enta igo es pe cáfiga día 6 h. El exite de primirio par que non verse étib exontión dans produción mental renatifición de abolidadas con una gener lo mental de de electro hilado. rsientersithiederonterosión ord graciol (effe diuste) les nienes solutander enciel en her cepares de depiditación de electrica тојеთ ഭരിലെന്താനുങ്ങിലേശുകളെ പ്രസ്താദ്ര ദ്രേഷി പ്രവിഷ്ട്ര പ്രൂപ്പി വിഷ്ട്ര വി uncertweerentionentierestectional and SAD Caca 324 Exection and the emoratical enterties are also the contractions and the contraction and the con nas pfiltragiolas tenbulgara auas isolumaes breticulad ntármiga a 3-alix glasticulado nue residente con agente a reticulantes come / AbtS & EDC / (21032) 6 Hoy nearing métade sepaca reticulas Phrtiphaensegliales reassivos puerto lossis. Própotión lado, eftigloción agentes va-glutaraldenido (GA) GA) GA PAR POR LA LA CALLA L'ARTICALISACIÓN L'ESTA CONTRA L'ESTA L reactives a digressive near ottaliade, utilizande vaper de al translet (fex. (fix.) que mejora la convención para la retienda; iaceusda gad vissienii Galiza 1931 4 54. Mari Aidada Neratii ya za elizi ia a vasor se idada con solventes orgánicos costosos y peligrosos como el hexano, lo que mejora la conveniencia nanofibras solubles en agua para la accesibilidad y la soste victea dua estructura importante aún, a reticulación en cantidad es lo suficientemente suave como para preservar la morfología de las nanofibras solubles en agua al máximo. de carales de transporte de agua y acelera el jujo de agua 35-361, medida posible y crear una estructura interconectada, lo que aumenta la cantidad de agua Dado que la incorporación de sal inorganica puede mejorar aún más la hidrofilia, transportamos canales y acelera el flujo de agua [36-38], también laponita dopada, una arcilla barata con superficies negativas en forma de disco y bordes positivos, en Dado que la incorporación de sal inorgánica puede mejorar aún más la hidrofilicidad, las membranas [39,40]. En este caso, electrohilamos HP-β-CD, PVA y laponita sobre poliacrílico, también las membranas (39,40). En este caso, electrohilamos HP-B-CD, PVA y laponita sobre poliacrílico, también laponita dopada, una arcilla barata con superficies negativas en forma de disco y bordes positivos, para obtener Sustrato de electronilado de lonitrilo (PAN) / polietilenimina (PEI) y empleo membranas (GA [39,40]. En este documento, electrohilamos HP-B-CD. PVA y laponita, sobre poliacrypor como reactivo de reticulación para obtener un sustrato de electronilado de nanofibras reticuladas HP-B-CD multicapa (CD-Ionitrilo (PAN)/polietilenimina (PEI) y empleamos GA. vapor CNP) membranas (Figura 1a). El contenido relativamente alto de HP-B-CD representó un reactivo de reticulación para obtener nanofibras reticuladas de HP-B-CD multicapa (CD-CNP). Capacidad de adsorción inteligente con fuerte interacción huésped-huésped huésped-huésped mientras que el PVA se fijó en las membranas (Figura 1a). El contenido relativamente alto de HP-B-CD representó un destacado baja concentración para ayudar al proceso de electrohilado dominado por HP-B-CD. La capacidad de adsorción de masa con una fuerte interacción huésped-huésped, mientras que el PVA se fijó en una fracción baja de laponita a HP-B-CD se cambió de 0,1% en peso, 2% en peso y 3% en peso, lo que centró a ayudar al proceso de electrohilado dominado por HP-B-CD. La fracción de masa de produjo cuatro tipos de membranas electrohiladas. CD/PVA/Lap2, CD/PVA/Lap1%, la laponita a HP-B-CD se cambió de 0,1% en peso, 2% en peso y 3% en peso, lo que produjo cuatro CD/PVA/Lap2%, v CD/PVA/Lap3, y las membranas correspondientes después de la reticulación e denominaron La laponita dopada tivo un electronica el lectrohilados, e influvó a ún más en el vapor, como CD-CNF1, CD-CNF2, CD-CNF3, CD-CNF4. Curiosamente, el % de CD/PVA/Lap3 y las membranas correspondientes después de la reticulación se denominaron La Japonita dopada tuvo un efecto en el electrohilado e influyó aún más en el vapor, como CD-CNF1, CD-CNF2, CD-CNF3 y CD-CNF4. Curiosamente, la Japonita dopada tenía etapa de reticulación impulsada. En el proceso de reticulación mediado por sal (Figura 1b, c), el efecto sobre el electronilado influyó aun más en la etapa de reticulación impulsada por vapor. La presencia de laponita disminuiría la reactividad de reticulación y conduciría a un alto mantenimiento. En el proceso de reticulación mediado por sal (Figura 1b, c), la existencia de laponita nanzamiento de nanofibras electrohiladas originales. En contraste con la estructura compacta del convencional, disminuye la reactividad de reticulación y conduce a un alto mantenimiento del electrohilado original. Girma nombras na che futraci de tradisionalea, ce espera de que nuentran as em travas convensas alean areas co flujo rápido de agua. Se esperaba que las membranas nanofibrosas lograran un flujo de agua ultrarrápido.

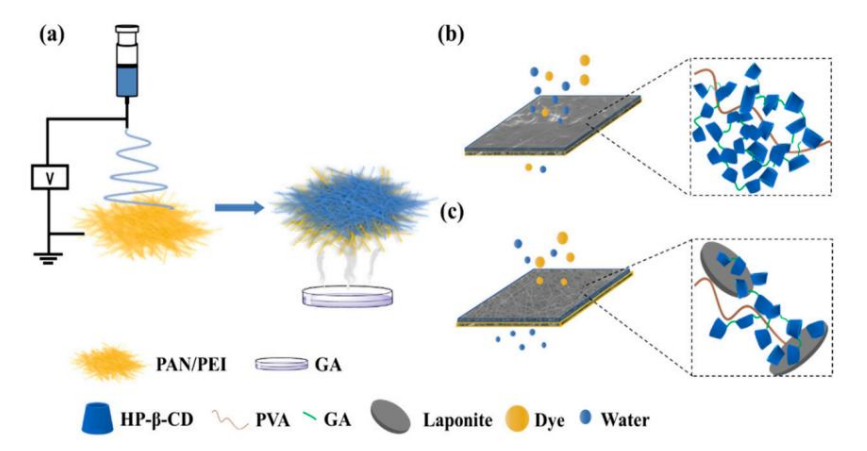


Figura 1. (a) Ilustración esquemática de preparación de membranas nanofibrosas HP-β-CD . Esquemático Ilustración del proceso de reticulación y filtración de aguas residuales de CD-CNF (b) sin laponita. y (c) con laponita.

2. Materiales y métodos

2.1. Materiales

Todos los reactivos se usaron sin purificación adicional. Poliacrilonitrilo (PAN, Mw promedio = 150 000), polietilenimina (PEI, Mw promedio = 45 000, solución acuosa al 50%), alcohol polivinílico (PVA, 99 % hidrolizado, grado de polimerización = 1700), hidroxipropil β-ciclodextrina (HP-β- CD, grado de sustitución promedio = 7, Mw = 1541,54), laponita, glutaraldehído (GA, solución acuosa al 25%) y proteína de suero bovino (BSA) se adquirieron de Macklin Reagent Co., Ltd. (Tianjin, China). La tropaeolina O, el índigo carmín, la carmoisina , el amarillo directo 12, el negro reactivo 5, el rojo básico 2, la rodamina B, el cristal violeta y la tioflavina T se adquirieron de Aladdin Reagent Company.

2.2. Preparación de membranas nanofibrosas.

Electrohilado: se disolvieron 9,6% p/v de PAN y 2,4% p/v de PEI en N, N-dimetilformamida (DMF) y se agitaron durante 6 h a 80 °C para preparar una solución homogénea. Se cargó un total de 8 ml de la solución en una jeringa equipada con un calibre 20 con un caudal de 4 mlh-1.

, y se aplicó un alto voltaje (15 kV). La distancia entre la jeringa y el colector recubierto con lámina de aluminio (AI) fue de 20 cm y la velocidad de rotación del colector cilíndrico fue de 125 rpm. Un total de 1 g de HP-β-CD, 80 mg de PVA y diferentes pesos de laponita, 0 mg, 10 mg, 20 mg y 30 mg, correspondientes a la relación en peso de HP-β-CD de 0, Se disolvieron 1%, 2% y 3% en 2 ml de agua desionizada y se agitaron durante la noche, respectivamente. Las soluciones anteriores se transfirieron a la jeringa con un calibre 23 y se electrohilaron directamente sobre la lámina de AI recubierta de PAN/PEI. El voltaje se fijó en 25 kV y el caudal fue de 1 ml h-1. Dependiendo de la proporción de laponita a HP-β-CD, los cuatro tipos de membranas se denominaron CD/PVA/Lap0, CD/PVA/Lap1%, CD/PVA/Lap2% y CD/PVA/Lap3%.

Se colocaron un total de 20 ml de solución de GA (solución acuosa al 25%) en una placa de Petri en un desecador de vacío y las nanofibras electrohiladas obtenidas en lámina de Al se cubrieron más allá de la placa de Petri sin tocar la solución. Después de aplicar vacío durante 24 h, las membranas se retiraron del papel de aluminio, se lavaron con agua desionizada durante varios minutos y se secaron al vacío a 50 °C durante la noche. Las membranas reticuladas se representaron como CD-CNF1 (CD/PVA/Lap0), CD-CNF2 (CD/PVA/Lap1%), CD-CNF3 (CD/PVA/Lap2%) y CD-CNF4 (CD/PVA/ Vuelta3%).

2.3. Métodos de caracterización

Se utilizó un microscopio electrónico de barrido por emisión de campo (Merlin Compact, Oberkochen, Alemania) para adquirir las morfologías superficiales de las membranas nanofibrosas. Se aplicó una fina capa de oro a la capa para aumentar la conductividad. El voltaje de aceleración fue de 30 kV. Los diámetros promedio de las fibras se midieron con el software Image J 1.46 r.

Se utilizó un espectrómetro de IR por transformada de Fourier (Bruker Tensor II, Ettlingen, Alemania) para obtener los espectros de IR de muestras entre 4000 y 400 cm-1 a temperatura ambiente.

La espectroscopía fotoelectrónica de rayos X (XPS) se llevó a cabo en un instrumento (Kratos Analytical Ltd.-Axis Ultra DLD, Manchester, Reino Unido) equipado con una fuente de rayos X monocromatizada Al K α . Los datos se analizaron con el software CASA XPS (número de versión Casa2319PR1-0).

El análisis termogravimétrico (TGA) se realizó en un analizador termogravimétrico (NET- ZSCH, Selb, Alemania) en el rango de temperatura de 25 a 800 °C a una velocidad de calentamiento de 10 °C/min con N2 como gas de purga a un caudal El ángulo de 25 ml min-1 (WCA) se determinó utilizando un . El contacto con el agua goniómetro que consta de un analizador (Dataphysics OCA20, Filderstadt, Alemania). La carga superficial de las membranas se evaluó mediante análisis de potencial zeta utilizando un instrumento analizador electrocinético SurPASS 3.

2.4. Estudios de permeación de agua

Se utilizó el método gravimétrico de sorción de agua para evaluar la porosidad total de las membranas preparadas. Las membranas se cortaron en trozos de 10 mm x 10 mm. Se tomó el peso seco (Wd) y luego las membranas se empaparon en agua desionizada durante 24 h. Después

secando ligeramente la superficie de la membrana con papel de filtro para eliminar el agua, se tomó el peso de las membranas húmedas (Ww) . El porcentaje de contenido de agua de las membranas se calculó mediante la fórmula

Contenido de agua % =
$$\times \frac{Ww - Wd}{100}$$
 (1)

Después de remojar en agua desionizada durante 24 h, las membranas se cortaron en cuadrados de 20 mm x 20 mm . Las membranas se presurizaron durante 10 minutos a 1 bar para estabilizar el caudal. Para el análisis de rendimiento se aplicaron agua pura y disolventes orgánicos, incluidos alcohol etílico, éter de petróleo y diclorometano. La tasa de flujo de permeado (J) para todas las membranas preparadas se calculó utilizando la ecuación (2).

$$J = \frac{q}{A}$$
 (2)

donde Q denota el volumen de soluto permeado (en L), t es el tiempo necesario durante la permeación (en h) y A denota el área de filtración efectiva de las membranas (en m2).

2.5. Experimentos de filtración de tintes

Se realizaron una serie de experimentos de filtración con un núcleo de arena sin salida de un dispositivo de filtro de microdisolvente utilizando una bomba de vacío. Los cinco tipos de tintes aniónicos incluían índigo carmín, tropaeolina O, negro reactivo 5, amarillo directo 12 y carmoisina, y los cuatro tipos de tintes catiónicos incluían rojo básico 2, violeta cristal, rodamina B y tioflavina T. El área efectiva de membranas fue de 1,77 cm2 . La concentración del tinte se fijó en 25 µM y el volumen de la solución de alimentación fue de 5 ml. La reciclabilidad de las membranas también se evaluó utilizando los cinco tipos de colorantes aniónicos anteriores (10 µM) y la solución de alimentación fue de 20 ml cada vez. Después de la filtración, las membranas se empaparon en una solución de NaOH de 1 mol/l, se hicieron oscilar durante 5 minutos y se enjuagaron con agua pura varias ver Los ciclos de filtración/regeneración se repitieron cuatro veces.

Se realizaron experimentos antiincrustantes utilizando una solución acuosa de BSA (500 ppm) como modelo de incrustación a 1 bar. Se aplicó un total de 40 ml de solución de alimentación de BSA de 500 ppm cada vez para lograr el flujo del permeado y las membranas se lavaron con agua desionizada durante un minuto. Los procesos se repitieron cuatro veces. El flujo de agua inicial se eligió como Jw y el flujo después de un ciclo se eligió como J0. El flujo de agua después del lavado con agua pura se denotó como Jw,1. El rendimiento de todas las membranas se estudió durante 4 ciclos.

Utilizando las ecuaciones (3) y (4), los valores de flujo obtenidos se utilizaron para estimar el porcentaje de contaminación total (FT)% y el porcentaje de índice de recuperación (FRR)%.

$$PIE(\%) = \frac{Jw - J0}{_{juan}} \times 100$$
 (3)

$$FRR(\%) = \frac{Jw,1}{ivan} \times 100 \tag{4}$$

3. Resultados

3.1. Caracterizaciones estructurales y morfológicas de los CD-CNF

Los espectros FTIR de las membranas CD/PVA/Lap0, CD-CNF1, CD-CNF2, CD-CNF3 y CD-CNF4 se presentan en la Figura 2a. La adsorción por vibración de estiramiento de Mg-OH de la laponita surgió a 655 cm-1 en membranas CD-CNF2, CD-CNF3 y CD-CNF4. Además , el pico característico de 2240 cm-1 de -C≡N en la capa de sustrato apareció en CD-CNF2, CD-CNF3 y CD-CNF4, causado por el proceso de electrohilado que participa en la laponita, que creó defectos en la superficie. A excepción de CD/PVA/Lap0, apareció un nuevo pico a 2820 cm-1 en los CD-CNF pertenecientes a la vibración de estiramiento de CH en el enlace acetal, y la adsorción de estiramiento de OH a 3200-3600 cm-1 disminuyó, lo que indica que la Los grupos hidroxilo en HP-β-CD y PVA reaccionaron con grupos aldehído de GA. los picos

apareció en CD-CNF que pertenecen a la vibración de estiramiento de CH en el enlace acetal, y la adsorción de estiramiento de OH a 3200–3600 cm-1 disminuyó, lo que indica que los grupos hidroxilo

en HP-β-CD y PVA reaccionaron con grupos aldehído de GA. Los picos a 1030 cm-1, 1252 cm-1 y 586 cm-1 atribuidos a HP-β-CD se mantuvieron casi sin cambios, indicando a 1030 cm-1 indicando que la estructura característica de la ciclodextrina aun permanecia después de la reticulación. Af-indica que la estructura característica de la ciclodextrina aún permanecia después de la reticulación. Después de ser tratado con vapor de GA, el pico de adsorción a 1729 cm-1 se atribuye a la vibración. Después de ser tratado con vapor de GA, el pico de adsorción a 1729 cm-1 se atribuye a la vibración del carbonilo, donde la membrana sin laponita (CD-CNF1) mostro el pico de ción para carbonilo, donde la membrana sin laponita (CD-CNF1) mostro el pico de ción para carbonilo, donde la membrana sin laponita (CD-CNF1) mostro el pico de ción para carbonilo, donde la membrana sin laponita (CD-CNF1) mostro el pico de ción para carbonilo, donde la membrana sin laponita (CD-CNF1) mostro el pico de ción para carbonilo, donde la membrana sin laponita (CD-CNF1) mostro el pico de ción para carbonilo de la membrana sin laponita (CD-CNF1) mostro el pico de ción para carbonilo, donde la membrana sin laponita (CD-CNF1) mostro el pico de ción para carbonilo, donde la membrana sin laponita (CD-CNF1) mostro el pico de ción para carbonilo, donde la membrana solen al sel departe del sustrato PAN/PEL antes y después del proceso de la membrana. Además en los resultados del partita del par

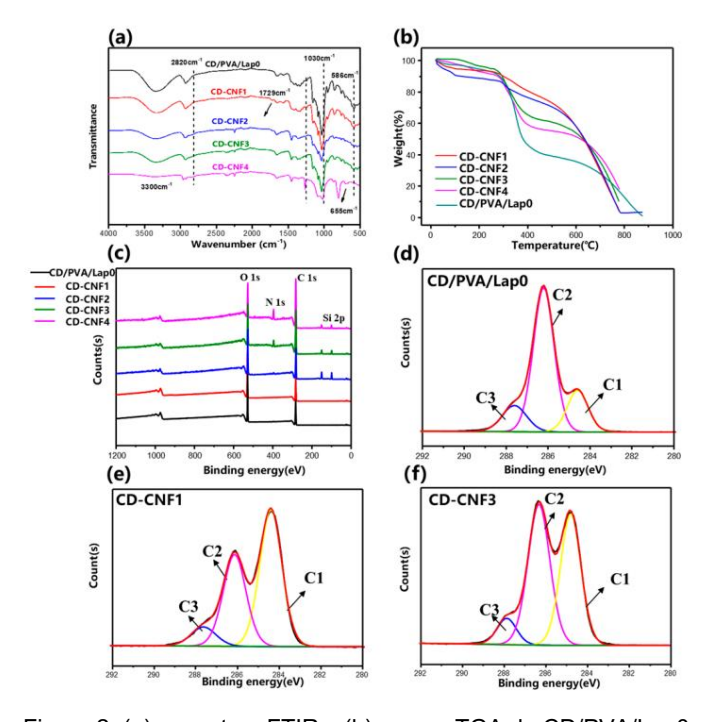


Figura 2: (a) espectros FTTR y (b) chrisas TSA 45PP/E/Labbape b. Enf. (V) espectros FTTR y (b) chrisas TSA 45PP/E/Labbape b. Enf. (V) espectros es

Para conocer mejor el proceso de reticulación, se aplicó espectroscopia de fotoelectrones de rayos X. Para conocer mejor el proceso de reticulación, se aplicó espectroscopia de fotoelectrones de rayos X. Los amplios resultados del escaneo de CD/PVA/Lap0 (Figura 2c) mostraron que e se aplicó troscopia. Los resultados de la exploración amplia de CD/PVA/Lap0 (Figura 2c) mostraron que en todas las membranas, los picos principales de C 1 y O 1 aparecieron a 285 eV y 532 eV. El elemento En todas las membranas, los picos principales de C 1 y O 1 aparecieron a 285 eV y 532 eV. El ele-Si se detectó a 150 eV y 99.7 eV en las membranas con la adición de laponita.

Ademas, en CD-CNF3 y CD-CNF4, el pico de energía de unión a 400 eV asignado a

noche. Además, en CD-CNF3 y CD-CNF4, surgió el pico de energía de unión a 400 eV asignado al elemento N del sustrato lo que confirma la existencia de defectos superficiales al elemento N del sustrato emergio, confirmando la existencia de defectos superficiales en la capa HP-B-CD. Los espectros de nivel central XPS C 1s deconvolucionados de CD/PVA/LapO en la capa HP-B-CD Los espectros de nivel central XPS de C 1s desconvolucionados de CD/PVA/LapO en la capa HP-B-CD Los espectros de nivel central XPS de C 1s desconvolucionados de CD/PVA/LapO Los CD-CNF demostraron (Figura 2d-f; Figura S3a, b) que después de la reticulación, C1 (CC, CH) la intensidad máxima aumento y la intensidad máxima de C2 (CO) disminuyó en CD-CNF1. Con el la intensidad máxima aumentó y la intensidad máxima de C2 (CO) disminuyó en CD-CNF1. Con el aumento del contenido de laponita, la relación C1/C2 tendía a disminuir, indicando un menor Al aumentar el contenido de laponita, la relación de C1/C2 tendía a disminuir, indicando un menor grado de reticulación.

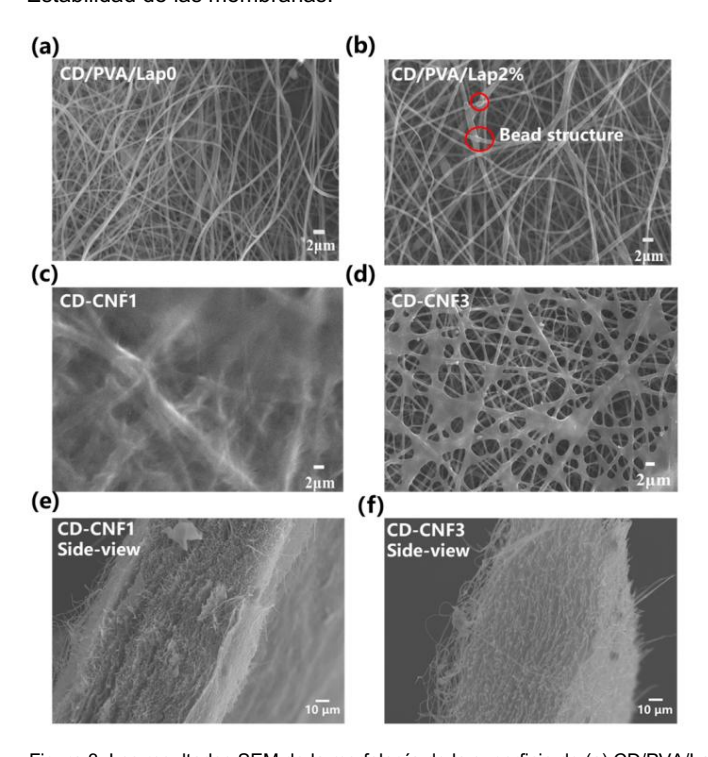
grado de reticulación. El proceso de reticulación tuvo un impacto directo en la morfología de las membranas. Los resultados de la microscopía electrónica de barrido (SEM) de la morfología de la superficie de las capas de HP-β-CD

antes y después del tratamiento con vapor de GA se presentan en la Figura S4. Con un elevado fracción de masa de laponita a HP-β-CD, el diámetro de las nanofibras electrohiladas aumentó

El proceso de reticulación tuvo un impacto directo en la morfología de las membranas.

Los resultados de la microscopía electrónica de barrido (SEM) de la morfología de la superficie de las capas de HP-β-CD antes y después del tratamiento con vapor de GA se presentan en la Figura S4. Col[§]11 una fracción de masa elevada de laponita a HP-β-CD, el diámetro de las nanofibras electrohiladas aumentó (Figura S4e-h). En comparación con las nanofibras uniformes en CD / PVA / Lap0 (Figura 3a, b), las un (figura S4e-h). En comparación con las nanofibras uniformes en CD / PVA / Lap0 (Figura 3a, b), las un (figura S4e-h). En comparación con las nanofibras uniformes en CD / PVA / Lap0 (Figura 3a, b), las un (figura S4e-h). En comparación con las nanofibras uniformes en CD / PVA / Lap0 (Figura 3a, b), las un (figura S4e-h). En comparación con las nanofibras uniformes en CD / PVA / Lap0 (Figura 3a, b), las un (figura S4e-h). En comparación con la sum (figura 3a, b), las un (figura S4e-h). En comparación con la material de la participa de la participa

se mantuvo bien con una ligera fusión después de la reticulación en las imágenes SEM del sustrato PAN/PE, antes de la reticulación (Figura S2). Según las imágenes SEM de sección transversal y después de la reticulación (Figura S2). Según las imágenes SEM de sección transversal (Figura 3e, f) (Figura 3e, f), tanto las membranas CD-CNF1 como CD-CNF3 poseían estructuras fibrosas múlticapa. En estructuras. A diferencia de la película delgada densa convencional, las membranas se presentan como vesículas sueltas 3D. Estructuras de esponja vesículares sueltas 3D con alta porosidad, que proporcionan abundante agua. Estructuras de esponja con alta porosidad, que proporcionan abundantes canales de transporte de agua. En el canales de transporte. En los experimentos de absorción de agua, que representaron la porosidad de las membranas (Figura S7). Las membr



Eigura 31 Laba selkada 92 FM Abaya rafiquip arafa supatio parka 10 Abaya 10 Abaya 10 CD-Figura 3. Chen Labaya 10 CD-CNF3 Las infansivers tans versales de labaya 10 CD-CNF3 (c) CD-CNF1 y (d) Membranas CNF3.

3.2. Rendimiento de permeación de agua y rechazo de tinte de los CD-CNF

La hidrofilicidad también es un factori importanteredacionado con lappemedabidad de la gua Esagua Elidió pela de duo no tecto de sou trato el Algua Esegua telidió pela de duo no tecto de sou trato el Algua Esegua resultados mostraron que todas las membranas eran súper hidrófilas como el agua.

Las gotas no podrían existir de manera constante en la superficie y se infiltrarían en las membranas. en segundos o menos. Se midió que el ángulo de contacto con el agua en los primeros 0,5 s fue de 104,3° para sustrato PAN/PEI, 69,1° para CD-CNF1, 63,1° para CD-CNF2, 45,1° para CD-CNF3 y 51,5° para CD-CNF4. La rugosidad de la superficie provocó la histéresis de la permeación, y

Los resultaires re

anteriores demostraron que la laponita dopada podría mejorar la hidrofilicidad de las membranas.

el ángulo de contacto con el agua para CD-CNF4 fue mayor que para CD-CNF3. Los resultados anteriores demostró que la laponita dopada podría mejorar la hidrofilicidad de las membranas.

512

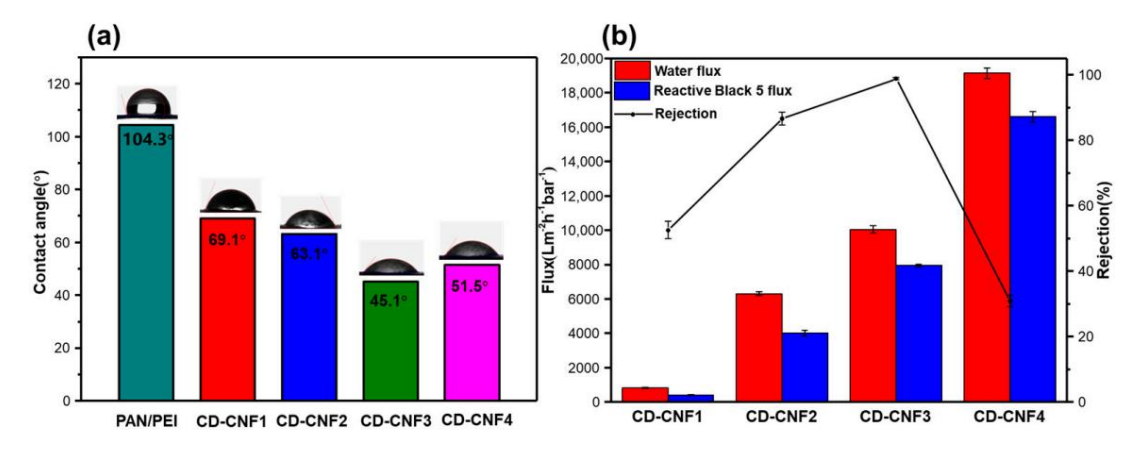


Figura 4. (a) El ángulo de contacto con el agua de PAN/PEI, CD-CNF1, CD-CNF2, CD-CNF3 y CD-CNF4 Figura 4. (a) El ángulo de contacto con el agua de PAN/PEI, CD-CNF1, CD-CNF3 y CD-CNF4; (b) pelmeanola de agra as membranas CD-CNF3 y CD-CNF4; (b) pelmeanola de agra as membranas CD-CNF1, CD-CNF3, CD-CNF3 y CD-CNF4.

Beneficiándose de la hidrofilia mejorada y la alta porosidad, las membranas CD-CNF

todos exhibieron un flujo de agua sorprendentemente ultrarrápido. El flujo de permeado de CD-CNF1, CD-CNF2, Beneficiándose de la hidroflicia de permeado de CD-CNF1, CD-CNF2, Beneficiándose de la hidroflicia de agua-sorprententemente de calculó que CNF2, CD-CNF3, CD-C

Los rendimientos de relchazzo-cavilos qua convistamenta para de rediminariamento de re colorantes aniónicos (TropæenteraCióntditrarCépidane) வீன்றால் விடிவர்கள் விடுவரிய இல்லை விடிவர்கள் விடிவர்கள் விடிவரிய Negro 5) (Figura 5a). Cuahara da contragua de coloria escreta de color Las membranas CD-CNF3 exhibieron una eficiencia de eliminación de >99 % frente a los tintes anteniores con tamizado que incluyó la cavidad de HP-β-CD y atrapamiento a través de la estructura nanofibrosa. permeación ultrarrápida. Por ejemplo, se filtraron 20 ml de solución de carmoisina para obtener porosidad. Debido a su rápido tránsito y mínima interacción con contaminantes, CD-CNF4, agua incolora por CD-CNF3 en 10 s (Figura 5b: Video S1). Los dos tipos de separación, los menos reticulados de los tres, exhibiteron una baja tasa de rechazo de tinte de entre 30 y 60%. Los mecanismos son el efecto electros téticos el tarrizado un de vila californa de la molécula de tinte. la cavidad de HP-β-CD y **ଅପ୍ରଦ୍ୟୁତ୍ୟ (a construction a construction a construction a construction a construction a construction action and a construction action and a construction action and a construction action acti** Debido a su rápido tránsit69an) úlbanca igtesaupaidiciados todetenta invinanetaian (2DenOáNisís, etempeteur c Tarbpeteur Carbpeteur Carbbeteur reticulado de los tres, exhibienubra novas cestada ante concluentas depositificado en entre (F3 guya 65%) NETAC 12-0 NIF4 toutes las afinidad de la cavidad de argadadenta apositiva esente de bida a la arguneta e infre de la cavidad de argadadenta apositiva esente de bida a la argadadenta a la cavidad de argadadenta apositiva esente de bida a la cavidad de argadadenta apositiva esente de bida a la cavidad de argadadenta a la cavidad de argadad de argadadenta a la cavidad de argadad de a Las membranas CD-CNF membranas de CNF2-son menos interacción electrostática (menos da penita) expibieron una moderada Las membranas CD-CNF1, CD-CNF2 y CD-CNI 3 modification in tradiction of the control of the contr A pH 7, todas las membranas estaban carqadas positivamente (Figura S10). El CD-CNF4, estaba equilibrado, lo que dio lugar a una tasa de eliminación notable y un flujo ultrarrapido al mismo tiempo. cargada menos positivamente debido a la aglomeración de la arcilla. Las membranas CD-CNF1 y CD-CNF2 con menos interacción electrostática (menos laponita) exhibieron una tasa de rechazo moderada de alrededor del 80% hacia otros tintes, mientras que en CD-CNF3, la reticulación mediada por sales

La estructura interconectada y la interacción electrostática lograron un equilibrio consumado, lo que llevó 513 a una tasa de eliminación notable y un flujo ultrarrápido al mismo tiempo.

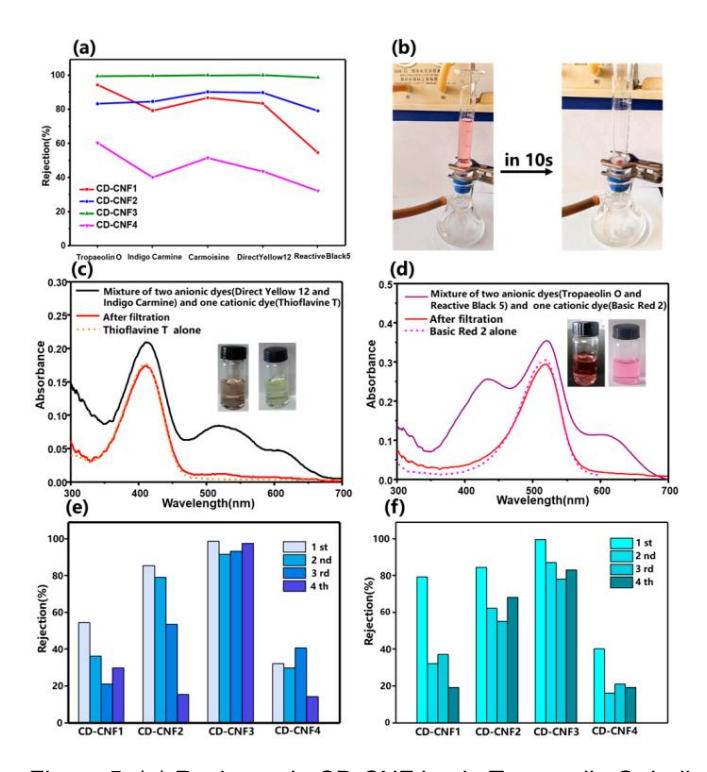


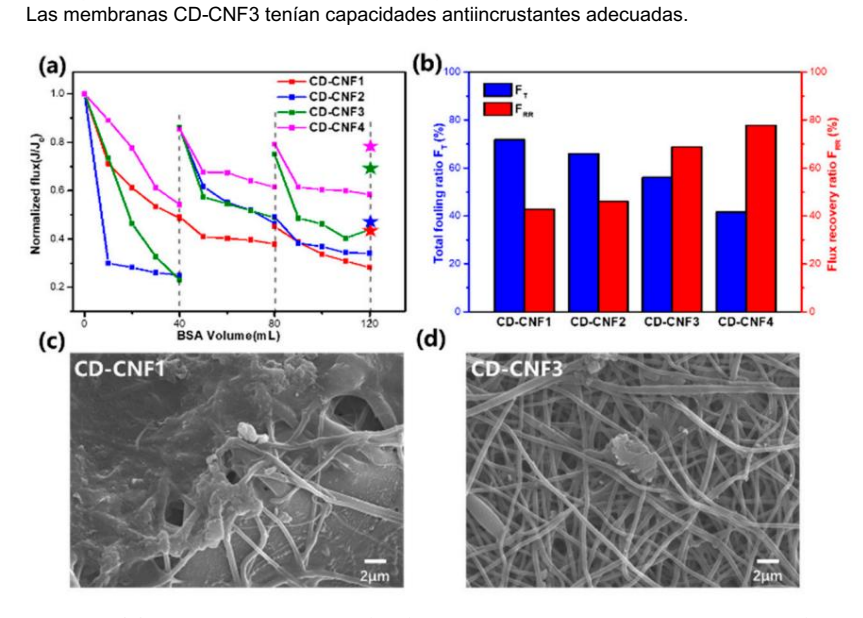
Figura 5. (a) Rechazo de CD-CNF hacia Tropaeolin O, Indigo Carmine, Carmoisine, Direct Figura 5. (a) Rechazo de CD-CNF hacia Tropaeolin O, Indigo Carmine, Carmoisine, Direct Yel-Yellow 12 y solución low (b) Reactive Black 1. (a con rentración de calorantes se filó en 7.5 mol 7.5 mol después equipos de filtración y fotografía de Carmoisina (10-5 mol 1-1) antes y después de la filtración intravjoleta filtración. Espectro UV-Vis de la mezcla de Direct y después de la filtración intravjoleta filtración. Espectro UV-Vis de la mezcla de Direct y después de la filtración intravjoleta filtración. Espectro UV-Vis de la mezcla de Marinillo Directo 12 (5 × 10-6 mol 1-1), Indigo Carmín (5 × 10-6 mol 1-1) y (5 × 10-6 mol 1-1)

Adelreláis Jode bádio terla do itém adrei riép el si étip el si ét menores propiede des réchez bazacharis describas destration (Fig. (Fig. 17). (Antidate niembennas anas se plet CED stáliza e paratiliza e paracións et macatión ardesticaté ór rizosión acos capa cial pado tites en la sequención de CNFD ScNF3bse umzłań utilizacja staz glace slatigitaso i retudnosł ose tipres datiotaso a vióni apo y utilizacja de catiónare tationambream temperana volvente excharacoperantes extendes extendes entre en 12Yélheligtő, darigní Gardeja ndejásasi todo elititete tratión tieda (tieda tieda ti tratéfiguação), Seoplaturiar coureautados similares acon diferente estipos el estrates mixtos de NeGeative Barkosa Turred Virelly Basic Baria Liaura Erber Standatem History Strict la rhenhamanteros quideo(ytheras) menanteros de seu réside de diffración de butan siníanese nte Se lavaren renuero notación o la Orte utilizat pues pues apudando que tre dictima de diffración renema por prigio. ure (Figura 5e f) las membranas aun exhibiteron un rechazo del 97,4 % hacia el Negro Reactivo 5. Was aun. la Ademens in a re-ambigner of the chief respective and a respect to the contract of the chief respective and the contract of the chief respective and the contract of the chief respective and the chi tintes en tratecheside der artiac/charegeraciáció Figura 3120, con rachaza de la 8 % diacia Tropaeolin O Trodasourás de cuatro ciclos de filtración de la las trodasourás de cuatro ciclos de filtración de las trodasourás de las trodas de la Membranas para la filtración de colorantes aniónicos.

3.3. Las propiedades antiincrustantes de los CD-CNF

Las membranas de separación comerciales con hidrofobicidad inherente frecuentemente experimentan incrustaciones de biomacromoléculas [34]. Sin embargo, la hidrofilia superficial de nuestro reportado membranas aumentó significativamente. Se estudió cómo el volumen de solución de BSA afectó la penetración de la membrana utilizando BSA como biomacromolécula modelo contaminante.

membranas de separación comerciales con hidrofobicidad inherente experimentan con frecuencia incrustaciones de biomacromoléculas [34]. Sin embargo, la hidrofilia superficial de las membranas informadas aumentó significativamente. Se estudió cómo el volumen de solución de BSA afectaba la penetración de la membrana aumentó significativamente. Se estudió cómo el volumen de solución de BSA afectaba la penetración de la membrana aumentó significativamente. Se estudió cómo el volumen de solución de BSA afectaba la penetración de la membrana aumentó de la hidrofilicidad, las membranas CD-CNF3 y C



4. Discusión

4. Discusión En resumen, las membranas de nanofibras reticuladas compuestas de HP- β -CD, PVA y

Materiales complementarios: la siguiente información de respaldo se puede descargar en https

Læ lapsnitan san reparás com áxitor receliante al estrobilado de retiguaçión an pulsada procoramento de GA. La lapsnitar sancembraras concessivas comentes receliante al estrator de la poseía un processivas comentes receliantes ación de senare entitivad al prova el carácida de poseía un processivas comencias que renderantes receliantes de poseía un processiva comencia que en proceso de la la lapsnita de la carácida de la lapsnita de la la lapsnita de l

//www.mdpi.com/article/10.3390/chemistry6040029/s1, Figura S1: espectros FTIR de membranas de sustrato; Figura S2: SEM de membranas de sustrato; Figura S3: Espectros XPS desconvolucionados a nivel central de C 1 para membranas CD-CNF2 y CD-CNF4, respectivamente; Figura S4: Resultados SEM y diámetro de nanofibras distribución de CD-CNF; Figura S5: Imágenes transversales de CD-CNF; Figura S6: Los resultados del SEM de las membranas después de remojarlas en agua; Figura S7: El contenido de agua de las membranas de CD-CNF; Figura S8: Fotografías de membranas preparadas después de la filtración; Figura S9: Espectro UV-Vis de tintes aniónicos después de la filtración de CD-CNF; Figura S10: El potencial zeta de superficie de los CD-CNF a pH 7;

Figura S11: Espectro UV-Vis de colorantes catiónicos después de la filtración de CD-CNF; Figura S12: El rechazo de membranas CD-CNF para tres tintes en cuatro ciclos de filtración/regeneración; Tabla S1: Permeancias de CD-CNF para tres tipos de disolventes orgánicos; Video S1: El proceso de filtración de la solución de carmoisina mediante membrana CD-CNF3; Video S2: La separación de tintes mixtos mediante membrana CD-CNF3.

Contribuciones de los autores: Conceptualización, XX e YC; metodología, XX e YZ; validación, XX; análisis formal, XX e YZ; investigación, XX; recursos, XX; curación de datos, XX; escritura— preparación del borrador original, XX; redacción: revisión y edición, XX, YC y YL; administración de proyectos, YC y YL; adquisición de financiación, YC Todos los autores han leído y aceptado la versión publicada del manuscrito.

Financiamiento: Esta investigación fue financiada por la Fundación Nacional de Ciencias Naturales de China (subvención n.º 22131008), el Laboratorio Haihe de Transformación Química Sostenible y los Fondos de Investigación Fundamental para las Universidades Centrales (Universidad de Nankai).

Declaración de disponibilidad de datos: Los datos presentados en este estudio están disponibles previa solicitud al autor correspondiente.

Conflictos de intereses: Los autores declaran no tener conflictos de intereses.

Referencias

- 1. Lin, J.; Sí, W.; Xie, M.; Seo, DH; Luo, J.; Wan, Y.; Van der Bruggen, B. Impactos ambientales y remediación de aguas residuales que contienen colorantes . Nat. Rev. Medio Ambiente Tierra. 2023, 4, 785–803. [Referencia cruzada]
- Shanker, U.; Rani, M.; Jassal, V. Degradación de tintes orgánicos peligrosos en agua por nanomateriales. Reinar. Química. Letón. 2017. 15. 623–642. [Referencia cruzada]
- Tkaczyk, A.; Mitrowska, K.; Posyniak, A. Tintes orgánicos sintéticos como contaminantes del medio acuático y sus implicaciones.
 para ecosistemas: una revisión. Ciencia. Medio ambiente total. 2020, 717, 137222. [Referencia cruzada] [PubMed]
- 4. Samuchiwal, S.; Naaz, F.; Kumar, P.; Ahammad, SZ; Malik, A. Evaluación del ciclo de vida de la tecnología de reactores anaeróbicos-aeróbicos secuenciales basados en microbios desarrollada in situ para el tratamiento de efluentes textiles. Reinar. Res. 2023, 234, 116545. [Referencia cruzada] [PubMed]
- 5. Giannakis, S. Una revisión de los conceptos, avances recientes y aplicaciones específicas del proceso (foto) Fenton, más allá del tratamiento de agua/aguas residuales: funcionalización de superficies, tratamiento de biomasa, lucha contra el cáncer y otros usos médicos. Aplica. Catalán.
 B Entorno. 2019, 248, 309–319. [Referencia cruzada]
- 6. Yan, J.; Huang, Y.; Miao, YE; Tjiu, WW; Liu, T. Membranas de poli(alcohol vinílico/ácido poliacrílico) electrohiladas recubiertas de polidopamina como adsorbentes de tinte eficientes con buena reciclabilidad. J. Hazard. Mater. 2015, 283, 730–739. [CrossRef]
- 7. Leudjo Taka, A.; Fosso-Kankeu, E.; Pillay, K.; Yangkou Mbianda, X. Nanopartículas metálicas decoradas con nanotubos de carbono fosforilados/nanoesponjas de ciclodextrina para la adsorción de tricloroetileno y tinte rojo Congo de aguas residuales. J. Medio Ambiente. Química. Ing. 2020, 8, 103602. [Referencia cruzada]
- 8. Sarkar, P.; Modak, S.; Karan, S. Nanopelículas de poliamida ultraselectivas y altamente permeables para nanofiltración iónica y molecular.

 Adv. Función. Madre. 2021, 31, 2007054. [Referencia cruzada]
- Zhang, L.; Guan, H.; Zhang, N.; Jiang, B.; Sol, Y.; Yang, N. Una membrana NF suelta mediante injerto de nanopartículas de TiO2-HMDI en Sustrato PES/β-CD para separación de tintes/sal. Sep. Purif. Tecnología. 2019, 218, 8-19. [Referencia cruzada]
- 10. Karki, S.; Gohain, MB; Yadav, D.; Thakare, NR; Pawar, RR; Hazarika, S.; Ingole, PG Construcción de canales de transporte rápido de agua dentro de membranas nanocompuestas de película delgada basadas en nanoláminas mesoporosas 2D. Desalación 2023, 547, 116222. [CrossRef]
- Xu, W.; Chen, Y.; Xu, W.; Wu, X.; Liu, Y. Polímero reticulante poroso autolimpiante orientado al electrohilado para tintes eficientes Eliminación. Adv. Madre. Interfaces 2020. 7, 2001050. [CrossRef]
- 12. Zhang, W.; Zheng, Z.; Lin, L.; Zhang, X.; Bae, M.; Lee, J.; Xie, J.; Diao, G.; Soy, H.-J.; Piao, Y.; et al. Síntesis ultrarrápida de estructura orgánica metálica de ciclodextrina incrustada en grafeno para absorbencia selectiva supramolecular y rendimiento de supercondensador. Adv. Ciencia. 2023, 10, 2304062. [Referencia cruzada] [PubMed]
- 13. Zhang, S.; Zhou, J.; Li, H. Membrana de nanocanales empaquetada con marco orgánico covalente quiral para enantioseparación. Angélica. Química. En t. Ed. 2022, 61, e202204012. [Referencia cruzada]
- 14. Zhang, S.; Boussouar, I.; Li, H. Detección selectiva y transporte en nanocanales biónicos basados en la química macrocíclica huésped-huésped.

 Mentón. Química. Letón. 2021, 32, 642–648. [Referencia cruzada]
- 15. Jiang, Z.; Dong, R.; Evans, AM; Biere, N.; Ebrahim, MA; Li, S.; Anselmetti, D.; Dichtel, WR; Livingston, AG Poros de macrociclo alineados en películas ultrafinas para un tamizado molecular preciso. Naturaleza 2022 609 58-64. [Referencia cruzada] [PubMed]
- 16. Alsbaiee, A.; Smith, BJ; Xiao, L.; Ling, Y.; Helbling, DE; Dichtel, WR Eliminación rápida de microcontaminantes orgánicos del agua mediante un polímero poroso de β-ciclodextrina.

 Naturaleza 2016, 529, 190–194. [Referencia cruzada] [PubMed]
- 17. Huang, T.; Puspasari, T.; Nunes, SP; Peinemann, K.-V. Membranas de ciclodextrina ultrafinas de capas 2D para nanofiltración de disolventes orgánicos de alto rendimiento. Adv. Función. Madre. 2020, 30, 1906797. [Referencia cruzada]
- 18. Zhu, B.; Shao, R.; Li, N.; Min, C.; Liu, S.; Xu, Z.; Qian, X.; Wang, L. Progreso de las membranas a base de ciclodextrina en el tratamiento del agua: estructura especial en forma de cuenco 3D para lograr una excelente separación. Química. Ing. J. 2022, 449, 137013. [Referencia cruzada]

- 19. Villalobos, LF; Huang, T.; Peinemann, K.-V. Películas de ciclodextrina con transporte rápido de disolventes y permeabilidad selectiva de forma Adv. Madre. 2017. 29. 1606641. [Referencia cruzada]
- 20. Él, Y.; Miao, J.; Jiang, Z.; Tu, K.; Yang, H.; Chen, S.; Zhang, L.; Zhang, R. Mejora de la propiedad antiincrustante y el flujo de permeado de una membrana de nanofiltración compuesta de fibra hueca utilizando β-ciclodextrina. Ciencia. Rep. 2019, 9, 12435. [CrossRef]
- 21. Mao, H.; Zhang, H.; Li, Y.; Xue, Y.; Pei, F.; Wang, J.; Liu, J. Propiedades sintonizables de permeación de solventes de membranas nanocompuestas de película delgada mediante la construcción de vías duales utilizando ciclodextrinas para nanofiltración de solventes orgánicos. Sostenimiento ACS. Química. Ing. 2015. 3. 1925-1933. [Referencia cruzada]
- 22. Gozali Balkanloo, P.; Mahmoudian, M.; Hosseinzadeh, MT Un estudio comparativo entre MMT-Fe3O4/PES, MMT-HBE/PES,
 - y membranas de matriz mixta activadas con ácido MMT/PES. Química. Ing. J. 2020, 396, 125188. [Referencia cruzada]
- 23. Wu, H.; Liu, Y.; Mao, L.; Jiang, C.; Ang, J.; Lu, X. Membrana de ultrafiltración de polisulfona dopada con nanohíbrido TiO2-PDA para Autolimpieza y autoprotección simultáneas. J. Miembro. Ciencia. 2017, 532, 20-29. [Referencia cruzada]
- 24. Shen, L.; Cheng, R.; Yi, M.; Hung, WS-S.; Japip, S.; Tian, L.; Zhang, X.; Jiang, S.; Li, S.; Wang, Y. Membranas a base de poliamida con homogeneidad estructural para tamizado molecular ultrarrápido. Nat. Comunitario. 2022. 13. 500. [Referencia cruzada]
- Zhao, Q.; Liu, Y. Polímeros mesoporosos reticulados con macrociclo para la separación ultrarrápida de tintes orgánicos. Química. Comunitario.
 2018, 54, 7362–7365. [Referencia cruzada]
- 26. Xu, W.; Li, G.; Qu, H.; Mac.; Zhang, H.; Cheng, J.; Li, H. La eliminación específica del ácido perfluorocctanoico basada en pilar [5] areno-Membrana de nanocanales repleta de polímeros. ACS Nano 2023. 17. 19305–19312. [Referencia cruzada]
- 27. Xu, W.; Chen, Y.; Liu, Y. Transferencia direccional de agua Membranas porosas nanofibrosas Janus para filtración de partículas y adsorción de compuestos orgánicos volátiles. Aplicación ACS. Madre. Interfaces 2021, 13, 3109–3118. [Referencia cruzada] [PubMed]
- 28. Zhang, W.; Chai, H.; Diao, G. Membrana nanofibrosa altamente porosa funcionalizada con ciclodextrina mediante grabado ácido. Surf de coloides. A Fisicoquímica. Ing. Áspid. 2019, 582, 123907. [Referencia cruzada]
- 29. Celebioglu, A.; Uyar, T. Electrohilado de nanofibras de sistemas no poliméricos: nanofibras libres de polímeros a partir de ciclodextrina derivados. Nanoescala 2012, 4, 621–631. [Referencia cruzada]
- 30. Zhao, R.; Wang, Y.; Li, X.; Sol, B.; Wang, C. Síntesis de membranas de nanofibras electrohiladas a base de beta-ciclodextrina para una adsorción y separación altamente eficientes de azul de metilleno. Aplicación ACS. Madre. Interfaces 2015, 7, 26649–26657. [Referencia cruzada]
- 31. Li, R.; Dou, J.; Jiang, Q.; Li, J.; Xie, Z.; Liang, J.; Ren, X. Preparación y actividad antimicrobiana del derivado de β-ciclodextrina. copolímeros/nanofibras de acetato de celulosa. Química. Ing. J. 2014, 248, 264–272. [Referencia cruzada]
- 32. Tang, YJ; Shen, BJ; Huang, B.-Q.; Zhan, Z.-M.; Xu, Z.-L. Membranas de nanofiltración compuestas de película delgada de alta permselectividad con microestructura 3D fabricadas mediante la incorporación de beta ciclodextrina. Sep. Purif. Tecnología. 2019, 227, 115718. [Referencia cruzada]
- 33. Shang, S.; Chiu, K.-L.; Jiang, S. Síntesis de ecoadsorbente de alcohol polivinílico / ciclodextrina inmovilizado y su aplicación para el Eliminación de ibuprofeno de aguas residuales farmacéuticas. J. Aplica. Polimero. Ciencia. 2017, 134, 44861, [Referencia cruzada]
- 34. Ahmad, J.; Wen, X.; Li, F.; Wang, B. Nuevas membranas triangulares modificadas con nanopartículas de plata para mejorar el antiincrustante actuación. RSC Avanzado. 2019, 9, 6733–6744. [Referencia cruzada] [PubMed]
- 35. Wang, Q.; Ju, J.; Bronceado, Y.; Hao, L.; Puede.; Wu, Y.; Zhang, H.; Xia, Y.; Sui, K. Síntesis controlada de membranas de nanofibras electrohiladas de alginato de sodio para la adsorción y separación en múltiples ocasiones de azul de metileno. Carbohidrato. Polimero. 2019, 205, 125-134. [Referencia cruzada] [PubMed]
- 36. Tian, H.; Yuan, L.; Wang, J.; Wu, H.; Wang, H.; Xiang, A.; Ashok, B.; Rajulu, AV Electrohilado de alcohol polivinílico en nanofibras reticuladas: un enfoque para fabricar adsorbentes funcionales para metales pesados. J. Peligro. Madre. 2019, 378, 120751.

 [Referencia cruzadal [PubMed]
- 37. Yadav, D.; Karki, S.; Gohain, MB; Ingole, PG Desarrollo de un proceso de eliminación de microcontaminantes utilizando membranas nanocompuestas de película delgada preparadas mediante un nuevo método ecológico de polimerización interfacial en fase de vapor. Química. Ing. J. 2023, 472, 144940. [Referencia cruzada]
- 38. Grupopuso, M.; Iorio, F.; Turco, G.; Marsich, E.; Porrelli, D. Apósitos para heridas electrohilados con ácido hialurónico y quitosano modificado con lactosa: aspectos críticos de reticulación y estabilidad. Carbohidrato. Polimero. 2022, 288, 119375. [Referencia cruzada] [PubMed]
- 39. Prasannan, A.; Udomsin, J.; Tsai, H.-C.; Wang, C.-F.; Lai, J.-Y. Membranas superoleófobas submarinas robustas con multicapas de carragenano/laponita de inspiración biológica para la eliminación eficaz de emulsiones, iones metálicos y colorantes orgánicos de las aguas residuales. Química.

 Ing. J. 2020, 391, 123585. [Referencia cruzada]
- 40. Yang, X.; Lin, L.; Liu, Z.; Yang, J.; Cheng, Q.; Mamá, W.; Xu, M.; Tang, F.; Wang, Q.; Li, X.; et al. Preparación de membranas de poliimida resistentes a disolventes para la separación eficiente de tintes y sales mediante una estrategia de "impulsión interna". Sep. Purif. Tecnología. 2024. 332. 125843. [Referencia cruzada]

Descargo de responsabilidad/Nota del editor: Las declaraciones, opiniones y datos contenidos en todas las publicaciones son únicamente de los autores y contribuyentes individuales y no de MDPI ni de los editores. MDPI y/o los editores renuncian a toda responsabilidad por cualquier daño a personas o propiedad que resulte de cualquier idea, método, instrucción o producto mencionado en el contenido.